

Fig. 4. Solubility of hydrogen in liquid iron-molybdenum alloys.

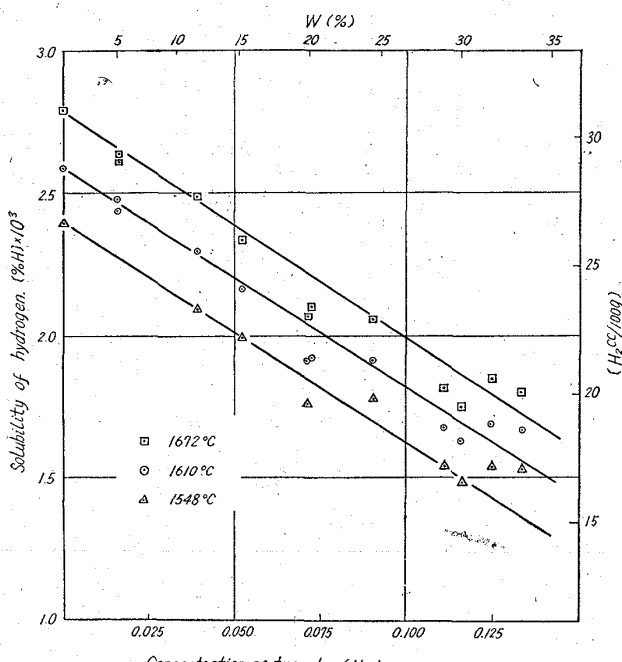


Fig. 5. Solubility of hydrogen in liquid iron-Tungsten Alloys.

$$e_H^{(Mo)} = \partial \log f_H^{(Mo)} / \partial [\% Mo] = 0.0014 \\ < 30\% Mo \dots \dots \dots (8a)$$

なお上記相互作用助係数として前川、中川²⁾は $e_H^{(Mo)} = -0.013$ を提出している。すなわちモリブデン添加により水素溶解度はかなり大きく増加するとしており本研究結果とは全く逆である。

⑤ 溶融鉄-タンゲステン系合金の水素溶解度

鉄-タンゲステン系合金の水素溶解度測定結果を Fig. 5 に示す。すなわち水素溶解度は測定範囲 $N_W = 0.13$ ($W = 34\%$)まで直線的に減少するが、その度合はモリブデンの場合より大きい。

本系の測定は最も再現性がよく安定した値が得られ、その相互作用助係数は次のごとくである。

$$\partial \log f_H^{(W)} / \partial N_W = 1.59 \quad < 0.15 N_W \dots \dots \dots (9)$$

$$e_H^{(W)} = \partial \log f_H^{(W)} / \partial [\% W] = 0.0048$$

$$< 20\% W \dots \dots \dots (9a)$$

最近相互作用母係数と元素周期律表や effective free electron との関連性^{4,6)}について興味ある論文が提出されているが、これらにしたがえば溶鉄中 i 成分の活量係数によよばす j 成分の影響は、同一族の元素ではほぼ同様の傾向を示すものとしている。しかるに本測定における第 VI-A 族の Cr および Mo, W では前述のごとく全く逆の影響を持つており、これらに關してはさらに今後の検討が必要である。

文献

- 1) 野崎、万谷、不破、的場、小野: 鉄と鋼, 49 (1963), p. 1450.
- 2) 前川、中川: 日本金属会誌, 25 (1961), p. 573, 577.
- 3) 的場、郡司: 学振 19 委 6221 (1961).
- 4) M. WEINSTEIN & J. F. ELLIOTT: Trans. Met. Soc., Amer. Inst. Min., Met. & Pet. Eng., 227 (1963), p. 382.
- 5) T. BUSCH & R. A. DODD: Trans. Met. Soc., Amer. Inst. Min., Met. & Pet. Eng., 218 (1960), p. 488.
- 6) 三本木、大谷: 学振 19 委 6078 (1960).

(69) 溶融珪酸塩 PbO-SiO₂ 系の酸素分圧の測定

(高温における酸素濃淡電池の研究-IV)

東京大学工学部

呉 裕 慶

工博○後藤 和弘・工博 松下 幸雄

Measurement of Oxygen Pressure in Liquid PbO-SiO₂ System.

(Study on oxygen concentration cells at high temperature-IV)

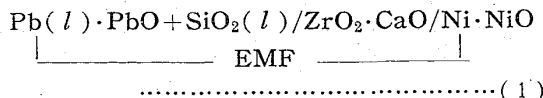
Yu-Ching Wu, Dr. Kazuhiro Goto
and Dr. Yukio MATSUSHITA

I. 緒言および測定原理

鉄鋼の乾式製錬においては一般に溶融スラグがその生産工程において非常に重要な役割を果す。ゆえに溶融スラグの物性あるいは反応性については近年多くの研究が行なわれるようになってきた。

著者らは溶融スラグの酸化還元力の一つのパラメーターとして考えられる、酸素の化学ポテンシャルすなわち溶融スラグ中の酸素分圧を測定する方法を開発したのでその実験結果を PbO-SiO₂ 系について報告する。

測定原理は下記のごとき、固体電解質 ZrO₂-CaO を使用した酸素濃淡電池の起電力を測定しスラグ中の酸素分圧を求める方法である。



前報(2)(3)で詳細に説明したごとく、固体電解質 $ZrO_2 \cdot CaO$ は純粋なる酸素イオン格子欠陥によるアニオングラウド電気伝導体であるゆえに上記のごとき電池の平衡可逆起電力 E は下式のごとく与えられる。

$$E = \frac{RT}{nF} \log \frac{P_{O_2} \text{ (in slag)}}{P_{O_2}^{\circ} \text{ (in Standard Electrode)}} \quad (2)$$

標準極の酸素分圧 P_{O_2} は $Ni + 1/2O_2 = NiO$ なる化学平衡式により一定温度では一定になる。ここで $Ni \cdot NiO$ 粉末混合体を標準極に使用する理由はすでに述べた。

一方一般にスラグ中の酸素分圧 P_{O_2} は温度、圧力、スラグ成分 ($N_1 N_2 N_3 \dots N_i$) の函数で示されるはずである。すなわち

$$P_{O_2}(\text{in slag}) = f(P, T, N_1 N_2 N_3 \dots N_i) \dots \dots \quad (3)$$

しかし上記 P_{O_2} はメタル相、ガス相などが共存しているれば平衡酸素圧になると考へられる。

すなわち、本実験のごとく Pb メタルが共存している場合には下記の化学平衡により一定温度ではスラッガ成分により一定の酸素圧を示す。

$$\text{Pb}(l) + 1/2\text{O}_2(\text{g}) = \text{PbO}(\text{in slag}) \dots \dots \dots (4)$$

$$\Delta G_f^\circ = -RT \log \frac{a_{\text{PbO}}}{a_{\text{Pb}} \cdot P_0^{1/2}} \dots \dots \dots (5)$$

(5)式に示した ΔG_f° は PbO の標準生成自由エネルギーであり、これは前報³⁾に報告したごとくすでに求まっている。

すなわち、本実験のごときメタル相共存の場合はスラッグ中の平衡酸素の化学ポテンシャルは下記のごとく T と N_{Pbo} の函数になる。

すなわち温度と平衡可逆電力を精密に測定することにより(2)式により、スラグ中の酸素分圧が求まり、さらに(5)式および(6)式によりスラグ中のPbOの活量あるいはO₂の化学ポテンシャルなどが求まる。

一方 PbO の活量がわかれば Gibbs-Duhem の積分により PbO-SiO₂ 系の SiO₂ の活量、さらに混合の自由エネルギー、エントロピー、およびエンタルピーなどが計算される。

このようなスラッジの固有の酸素の化学ポテンシャルは鉄鋼製錬の反応系に適用した場合にまったく同様な解析方法が可能である。

II. 実験方法

実験装置の概略は Photo. 1 に示してある。Photo. 1 中、上段、中段、下段と三段に分れているガラス系列は、それぞれ CO、CO₂ およびアルゴンガスの清浄ならびに流量調整系列である。

本実験においては CO-CO ガスを用いなかつた。アルゴンガスは市販の高純度アルゴンボンベよりとり Conc H_2SO_4 を通した後、Cu Chip と Ti Chip を $800^{\circ}C$ に加熱した中を通過せしめできるだけ脱酸素した。脱酸素後アルゴンガスは Conc H_2SO_4 , $CaCl_2$, P_2O_5 を通した後ブリーダーと毛管流量計により流量を調整し、写真

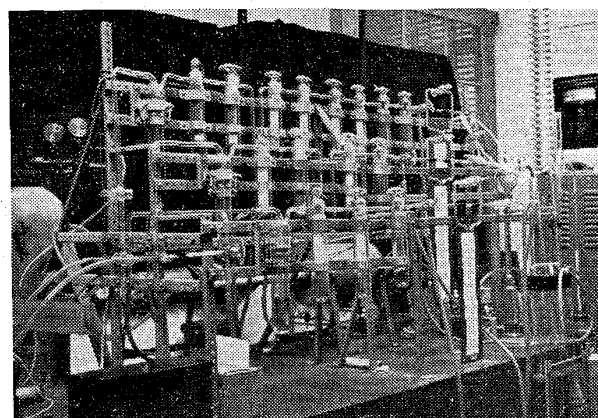
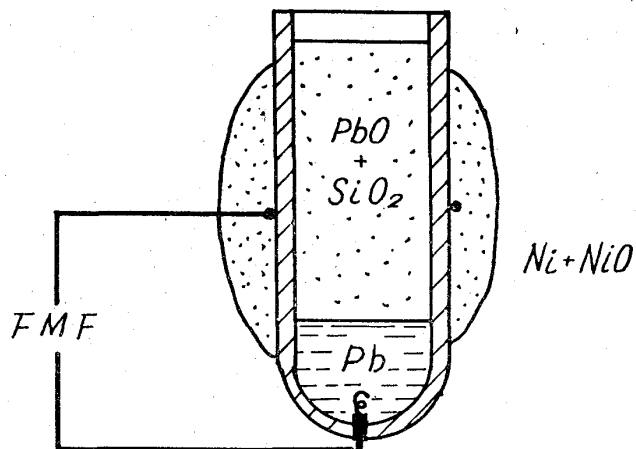


Photo. 1. Picture of experimental apparatus.



Fe Lead wire

Fig. 1. Cell construction.

のガラス系列の後方にみえる横型白金抵抗炉の方に送つた。

Fig. 1 に酸素濃淡電池の構造を示す。

電解質 $ZrO_2 \cdot CaO$ は西村工業株式会社に本実験のためにとくに注文製作した一端閉管を用い、外径 8 mm 内径 5 mm 長さ 100mm のものを数 cm の長さに切断し使用した。

一端閉管の底に微細な穴をうがち Pb と相互溶解度のない鉄線をさし込み、その上に Pb をつめさらにその上に PbO , SiO_2 の粉末混合体をつめた。標準極の方は $ZrO_2 \cdot CaO$ 管の外部に Ni-NiO 混合物を水で泥状にしてはけでぬりつけた。

実験操作は上記のごとくして作製せる酸素濃淡電池を外径 42mm 長さ 1000mm の反応管内部中央にセットし、左右キャップを封じ、アルゴンガスを十分通し電池の水分を乾燥せしめ反応管内の雰囲気をアルゴンガスにしてから加熱した。測定温度 800°C , 900°C , 1000°C , 1100°C でそれぞれ 10~15 分保持し温度と起電力が一定になつてから数回測定記録した。

温度の測定は電池に密着した Pt-Pt 13%Ph 熱電対により測定し、実験温度における反応管内温度の変動は $\pm 1^{\circ}\text{C}$ 以下であった。EMF の測定には感度 ± 0.00001 Volt のポテンショメータを使用した。

一方スラッギの分析は PbO について行ない、スラッ

グを HF と HNO_3 で処理してからクロム酸鉛にする重量法で行なつたが、配合%とスラッジの分析%はよく一致したので、試料すべてについて行なわなかつた。

また溶融スラッジ中の $ZrO_2 \cdot CaO$ 固体電解質の溶出をしらべるため、スラッジを分光分析にて調べた所 ZrO_2 の Trace が出ているが、0.01% 以下であると考えられるので $ZrO_2 \cdot CaO$ の溶出による影響は無視してよいと考えられる。

電極に用いた、Ni, NiO , PbO , SiO_2 , および Pb は化学試薬特級のものを用いた。

また起電力の再現性は非常によく、 $\pm 1mV$ の範囲で変動がみられたのみであつた。

III. 実験結果および考察

Fig. 2 は溶融 $PbO-SiO_2$ 系の酸素分圧の測定結果を示す図であり縦軸は P_{O_2} 、横軸は SiO_2 のモル分率がとつてある。

図中 $N_{SiO_2} = 0$ すなわち縦軸上の P_{O_2} は PbO の標準生成自由エネルギーから求まるもので、これらの点は前報³⁾のごとき著者らによる実測値である。

800°Cにおいては SiO_2 の溶解度が 0.14 モルにあるので $N_{SiO_2} = 0 \sim 0.14$ の間では酸素分圧は一定になつてゐる。

上記のごとく、Pb 共存の場合はスラッジ中の酸素分圧は N_{PbO} と T の函数であることが Fig. 2 からわかる。

すなわちスラッジ成分がわかれば、そのスラッジがメタル相と共に存在した場合の各温度の酸素分圧がわかるわけであり、このような図は鋼のスラッジによる拡散脱酸、スラッジによる選択酸化などの問題を解明する一つの重

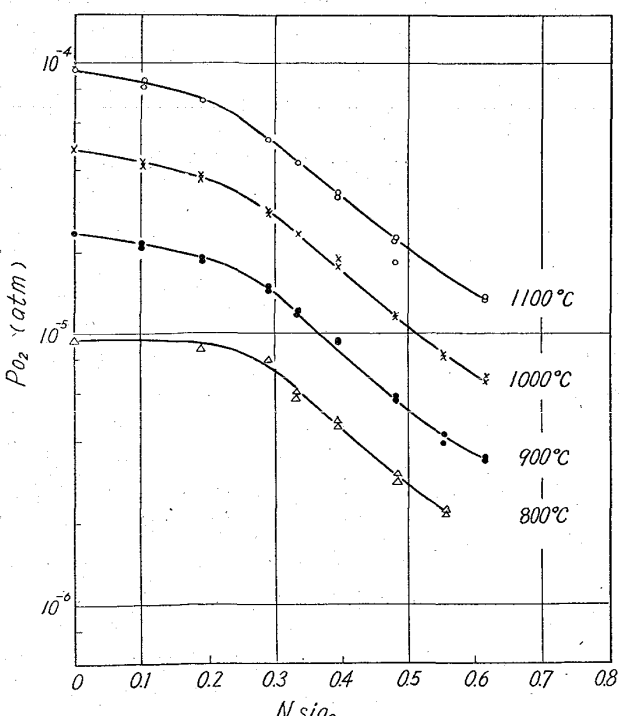


Fig. 2. Partial pressure of oxygen in $PbO-SiO_2$ melt.

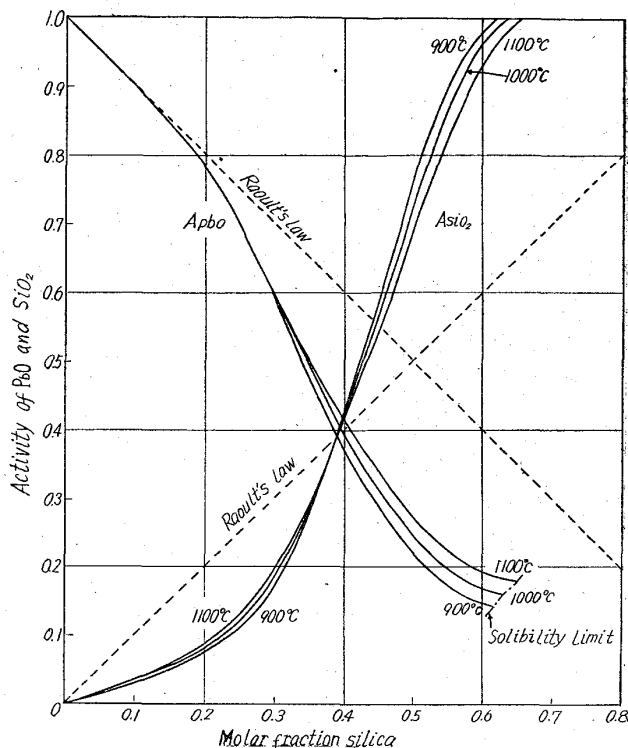


Fig. 3. Activity of PbO and SiO_2 in the system $PbO-SiO_2$.

要な指針となると考えられる。

Fig. 3 は (5) 式により PbO の活量を計算しさらに Gibbs-Duhem の積分により SiO_2 の活量を計算した結果である。

$PbO-SiO_2$ 二元系の活量の測定は Richardson and Webb⁴⁾、沢村企好、上野桂滋⁵⁾により発表されているが、本実験結果と傾向はほぼ一致している。

Fig. 3 よりわかるように $PbO-SiO_2$ 系において PbO は Raoultian Law より負に偏位し、 SiO_2 は $N_{SiO_2} = 0.37$ まで負に偏位し、それ以上では正に偏位していることがわかる。

いわゆる α プロットの図は紙面の都合上割愛するが、そのバラツキは少なく、またその形より本二元系は正規溶液でないことがわかる。

Fig. 4 に ΔF^{Mix} , ΔH^{Mix} , および ΔS^{Mix} を示している。

それらの計算にはそれぞれ下の式を用いた。

$$\Delta F^{Mix} = RT(N_{PbO} \log a_{PbO} + N_{SiO_2} \log a_{SiO_2}) \quad (7)$$

$$\Delta H^{Mix} = \left(\frac{\partial \Delta F^M / T}{\partial 1/T} \right) P \cdot N_{PbO} N_{SiO_2} \quad (8)$$

$$\Delta S^{Mix} = - \left(\frac{\partial \Delta F^M}{\partial T} \right) P \cdot N_{PbO} N_{SiO_2} \quad (9)$$

IV. 結 言

固体電解質 $ZrO_2 \cdot CaO$ を使用した酸素濃淡電池により溶融スラッジ中の酸素分圧を測定する方法を考案し $PbO-SiO_2$ 系が Pb メタル相と共に存在した場合の酸素分圧を Ni-NiO を標準極にして 800°C, 900°C, 1000°C

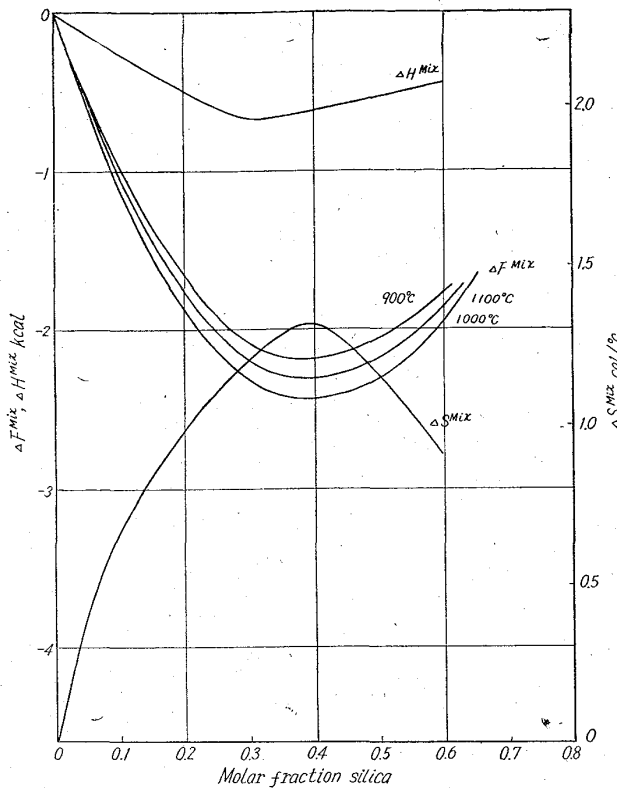


Fig. 4. Free energy, enthalpy and entropy of mixing in the system PbO-SiO₂.

C, および 1100°C において測定した.

その結果 PbO-SiO₂ 系の酸素分圧は温度が高くなるほど大になり、また SiO₂ 含有量が大になるほど小になることがわかつた。

また PbO の活量を求め、さらに Gibbs-Duhem の積分により SiO_2 の活量を計算した。その結果 PbO の活量は Raoultian Law より負に偏位し、 SiO_2 の活量は $N_{\text{SiO}_2}=0.37$ まで負に偏位し、それ以上では正に偏位することがわかつた。

また α -プロットの形より本二元系は正規溶液でないことがわかつた。

PbO-SiO_2 は温度が高くなるにしたがつて理想液体の状態に近くなつて行くことがわかつた。

また PbO , SiO_2 の活量をもとにして混合の自由エネルギー, エントロピーおよびエンタルピーを計算し図示した.

文獻

- 1) 後藤和弘, GEORGE R. St. PIERRE: 鉄と鋼 Vol. 49 (1963) No. 3 p. 413.
 - 2) 後藤和弘, GEORGE R. St. PIERRE: 鉄と鋼 Vol. 49 (1963) No. 3 p. 414.
 - 3) 後藤和弘, 松下幸雄: 鉄と鋼 Vol. 49 (1963) No. 10, p. 1436.
 - 4) E. D. RICHARDSON and L. E. WEBB: Trans. Inst. Min. and Met. 64 (1954~5) 529.
 - 5) 沢村企好, 上野桂滋: 昭和 38 年春期日本金属学会講演概要 p. 43 (1963).

(70) アルキメデス法による溶融 FeO-SiO₂ スラグの密度の測定

大阪大学工学部

工博 足立 彰・工博○荻野 和巳

神戸製鋼所 川崎正藏

大阪大学工学部 若宮辰也

Measurement of the Density of Molten FeO-SiO₂ Slags by the Archimedean Method.

*Dr. Akira ADACHI, Dr. Kazumi OGINO,
Shozo KAWASAKI and Tatsuya WAKAMIYA*

I. 緒 言

溶融スラグの密度は実際操業においても重要な性質であるだけでなく、その変化は溶融スラグの構造の変化とも密接な関係があり、溶融スラグの性状の解明にとっても重要な性質の一つである。しかし、今まで溶融スラグの密度の測定はきわめて少ない。特に FeO を含むスラグについては、実験技術上限られた組成・温度範囲においてなされた二、三の測定が報告されている^{1)~4)()}。

FeO を含むスラグの密度の測定は従来、鉄ルツボ中で最大泡圧法によつて実施されている^{1)~4)}。 FeO を含む基本系 FeO-SiO₂ 系については二、三の報告があり^{1)~3)}、著者らも測定を行なつてゐるが²⁾、それらの結果の間には若干の相違が認められる。そこで著者らは従来の測定法と異なつたアルキメデス法による測定を試みた。特に測定値に相違がみられる SiO₂ 20% 以下の組成を主として比較を行なつた。このアルキメデス法は珪酸塩やガラスの高温における密度測定⁵⁾⁶⁾に用いられる方法であり、ごく最近、この方法を FeO-CaO-P₂O₅ 系の密度測定に用いた報告がある⁷⁾。著者らは本方法で精度を高めるために珪酸塩融体で行なわれているよう⁵⁾⁶⁾、大小二つの体積の異なる Pt-10%Rh 球を用いて FeO-SiO₂ 系溶融スラグの密度を測定し従来の結果と比較検討した。

II. 測 定 原 理

液体中に細い線で吊り下げられた球の浮力は（1）式で表わされる。

ここに W_t : $t^\circ\text{C}$ における体積 V_t なる Pt・10% RH 球
(液面下の細線を含む)

V_t : $t^\circ\text{C}$ の浮力における Pt-10% Rh 球 (液面
下の細線を含む) の体積

D_t : $t^\circ\text{C}$ における液体の密度

r : Pt-10% Rh 球を吊す細線の半径

S_t : $t^\circ\text{C}$ における液体の表面張力

α : 細線に対する液体の接触角

一つの球についての浮力の測定で液体の密度を知るには(1)式からも明らかのように、球を吊す細線に働く液体の表面張力の影響を考慮する必要があり、表面張力の値とともに細線に対する液体の接触角の値も必要となる。